

## H型断面材の振りフラッタについて

九州大学応用力学研究所 正員 中村泰治

" " ○吉村 健

1. まえがき

ランカーホーク等のアーチ橋の長大化にともない、それらに使用されてるH型断面吊材の風による振動が問題となつてゐる。本研究は断面比が1:1と1:2の2次元H型断面材の耐風安定性、特に振り戻りのフラッタについて風洞実験で調べたものである。

2. 模型と実験装置

模型はアルミニウムの管組と鍍鉄スチロール板で作った  $h \times d \times l = 340 \times 340 \times 1,845$  (1:1) と  $170 \times 340 \times 1,845$  (1:2) のH型断面材で (Fig-3 参照)、フランジヒュケは共に約  $10^{\text{mm}}$  の厚さである。この模型を高さ  $\times$  幅  $\times$  長さ =  $6 \times 2 \times 6^{\text{m}}$  の大型風洞に入れ、その両端を十字パイプで支持水中にセットした。(Fig-1, 2)

模型をおもに想定した実構造の慣性モーメント、寸法減衰率等を Table-1 に示す。模型は想定実構造に比べてダンゼンケ・ハラメータ  $Z^2/f_{\text{diss}} \cdot \delta_0$  が小さいので、複数ダンバーでの減衰率を増加させた場合についても調べた。

なお Fig-3 に示す位置に熱線プローブを置いて後流の風速変動も同時に検出した。

3. 実験結果

1/1断面 最初に代表的平均迎角に対する例を述べる。Fig-4 に示すように、 $\alpha=0^{\circ}$  では  $\bar{V}_{\text{ar}} = 7.81$  付近で渦動振が生ずる。この最大振幅はダンゼンケ・ハラメータの値によって異なるが、実構造相当の  $Z^2/f_{\text{diss}} \cdot \delta_0 = 2.94$  のときでも  $\theta \approx 6^{\circ}$  に達する。模型の振動数  $f_r$  は  $\bar{V}_{\text{ar}}$  を壁に対して  $\bar{V} < \bar{V}_{\text{ar}}$  で最大  $-2.3\%$ 、 $\bar{V} > \bar{V}_{\text{ar}}$  で最大  $+3.5\%$  の変動がみられた。また  $9 < \bar{V} < 11$  ではダンゼンケ・ハラメータが小さいと不安定になりミットサイクルがみられた。(図中点線)

Fig-5 は  $\alpha = 78^{\circ}$  の例を示す。この迎角では高風速で振り戻りが持続することに特徴がある。ダンゼンケ・ハラメータが大きい場合の心管曲線よりやむるよう、低風速でのフラッタは渦動振であるが、高風速では明らかに渦れは累積的原因で不安定が生ずるかと考えられる<sup>(1)</sup>。このことは空力ダンゼンケ係数曲線をみればより明確であろう。Fig-6 は自由振動法によって、 $\theta = 1 \sim 2^{\circ}$  における振り戻りメントの空力ダンゼンケ係数  $k_a = Z^2/f_{\text{diss}} \cdot \delta_a$  ( $\delta_a = \delta - \delta_0$ ,  $\delta$  はその風速における寸法減衰率) を求めてプロットしたものである。

次に Fig-7 に示すように、 $\alpha = 90^{\circ}$  では渦動振が  $1/\sqrt{\bar{V}_{\text{ar}}}$  附近における発振 (以下これを第1の発振と呼ぶ) がみられる。渦動振は  $\alpha = 0^{\circ}$  の場合よりも激しく、実構造相当の場合でも  $\bar{V}_{\text{ar}}$  附近で  $\theta = 15^{\circ}$  以上の安定付リミットサイクルに達した。第1の発振における  $k_a$  は非常に小さく、ダンゼンケ・ハラメータが大きいと系は安定である。

$\alpha = 0^{\circ} \sim 90^{\circ}$  における結果をまとめ、 $\theta \geq 1^{\circ}$  に関する安定限界図を作り Fig-8 に示す。同図より、渦動振は  $37.5^{\circ} < \alpha < 62.5^{\circ}$  以外のすべての迎角では、高風速での振り戻りは  $\alpha = 78^{\circ}$  附近およ

$\alpha = 30^\circ$  附近に強いことがわかる。ただし  $\alpha = 30^\circ$  附近に強いフラッタはそれ弱いものであつた。

1:2断面 Fig-9 にみるよう、 $\alpha = 0^\circ$  では 1:2・For 附近での  $\delta_1$  の発振と渦励振を加えて、2・For 附近でも弱い発振がみられる。ランセシック・ハーメータの大きさからこの発振のうち渦励振のみが生ずるが、For 附近で  $\alpha \approx 2^\circ$  程度の発振であり、同迎角での 1:1 断面に比べて発振は弱い。高風速まで持続する振りフラッタが発生する例として  $\alpha = 30^\circ$  の場合を示す。(Fig-10)

Fig-11 が安定限界図である。一般に振りの運動振幅 1:1 断面に比べて弱い。また高風速での振りフラッタは  $\alpha = 10^\circ$  附近より  $\alpha = 30^\circ$  附近で発生した。

#### 4. 振りフラッタと静的空力特性について

高風速ではする振りフラッタの主な原因は流れの遷移によるものとされる<sup>(1)</sup>。しかし、今のうちはフランダの発振と静的空力特性より予測することは難かしい。いまやる  $C_{M\alpha}$  の特性和振りフランダの発振が必ずしも対応しないことは文献(1)で述べたとおりである。H型断面材の静的空力特性は文献(2)に示されているが、上記の事情は H型断面材についても同様である。1:1 断面の場合、 $\alpha = 78^\circ$  における静的空力特性はこの付近で流れの両端が必ずしも示す<sup>(3)</sup>、流れの遷移によるフランダの発振を予想させらるが、一方、同様な流れの変化が生ずる  $\alpha = 15^\circ$  附近ではフランダは発生していない。また 1:2 断面の場合、 $\alpha = 0^\circ$  附近ではフランダの発振を予想させらるが、 $\alpha = 30^\circ$  附近で発生するフランダについては、目下のところ未だ静的空力特性の変化を因る事ができない。今後の研究を必要とする個人である。

#### 5. 結論

本研究にて、1:1 と 1:2 の H型断面材については、迎角によって振りの渦励振から高風速まで持続する振りフランダが生ずるといがわられた。実験結果より判断して、実験吊材においても振りフランダが発生するには充分に予想される。また同断面吊材は他の渦励振から高風速まで吊材に対する不適定であることを含めると<sup>(4)</sup>、橋梁吊材として H型断面を採用するには問題のうえから検討すべき問題が多いように思われる。

本実験を行なうにあたり、流体工学部門の松田公一郎補佐員の協力を受けた。同洞のオペレーションは深町信彦、渡辺公彦両技官による。1名にて謝意を示す。

#### 参考文献

- (1). 中村泰治、溝田武人；矩形断面の振りフランダについて、構造物の耐風性に関するシンポジウム、1972.12
- (2). 中村泰治、溝田武人、吉村健；矩形および H型断面材の静的空力特性について、土木学会西部支部研究整表公報叢集、J.K.S. 2.
- (3). Y. Nakamura & T. Mizota ; Aerodynamic Characteristics and Flow Patterns of a Rectangular Block, Reports of Research Institute for Applied Mechanics, Kyushu University, Vol.XIX, No.65, 1972.
- (4). 伊藤学、久保重延；ランサー橋における H型断面吊材の耐風設計、工芸学会年次学術講演会講演集、J.K.S. 10.

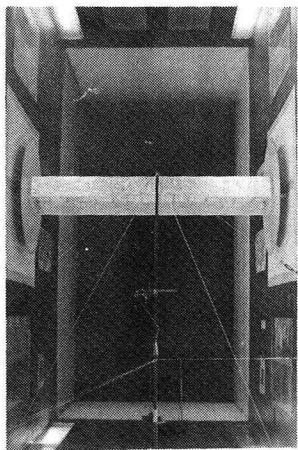


Fig. 1

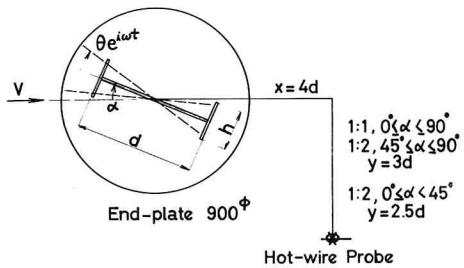


Fig. 3

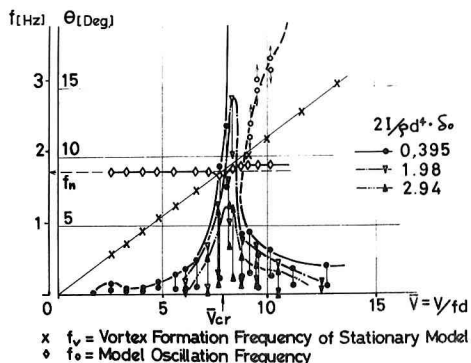


Fig. 4 1:1 Model,  $\alpha = 0^\circ$

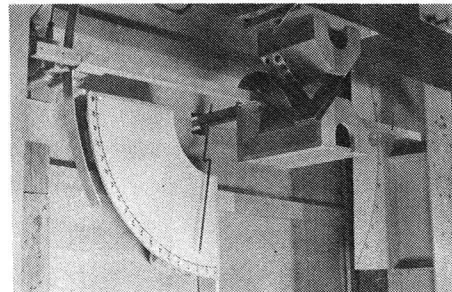


Fig. 2

Cross-Section	Natural Frequency $f_n$ Mass Ratio $2l/pd^4$	Logarithmic Decrement $\zeta_0$	$2l/pd^4 \cdot \zeta_0$
1:1	Model, $f_n = 1.63$ (1.72) $2l/pd^4 = 24.1$	0.0145	0.349
		0.0160	0.395
		0.0346	0.833
		0.0822	1.98
		0.122	2.94
	Assumed Full Scale Str. * $2l/pd^4 = 276$	0.0100	2.76
1:2	Model, $f_n = 1.74$ $2l/pd^4 = 23.4$	0.0122	0.262
		0.0800	1.87
		0.118	2.76
		Assumed Full Scale Str. ** $2l/pd^4 = 118$	0.0100
			1.18

\* 2 pls. 13x400, 1 pl. 6x374

\*\* 2 pls. 20x200, 1 pl. 6x374

Table. 1

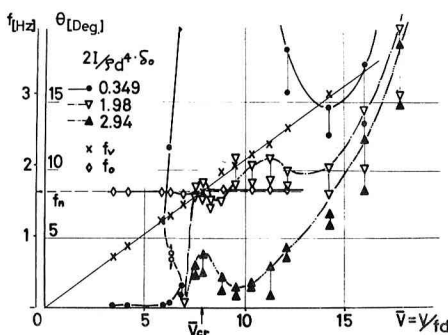


Fig. 5 1:1 Model,  $\alpha = 78^\circ$

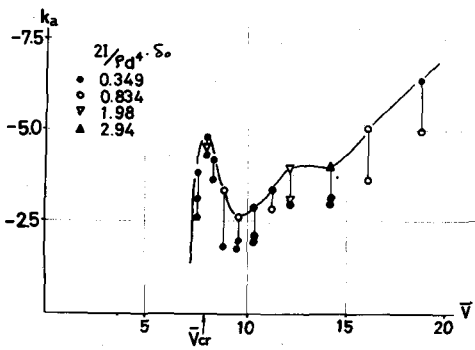


Fig. 6 1:1 Model ,  $\alpha = 78^\circ$

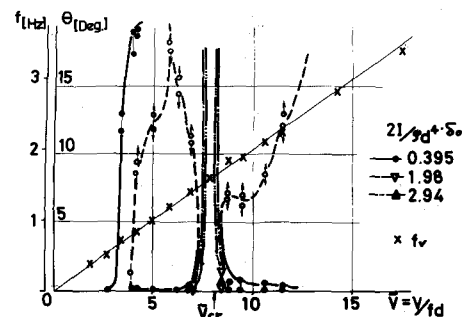


Fig. 7 1:1 Model ,  $\alpha = 90^\circ$

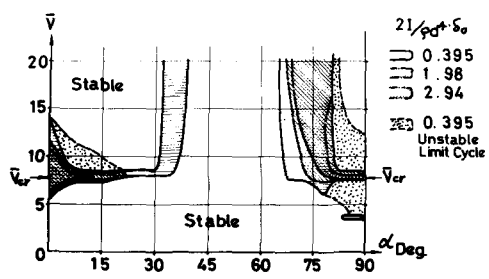


Fig. 8 1:1 Model

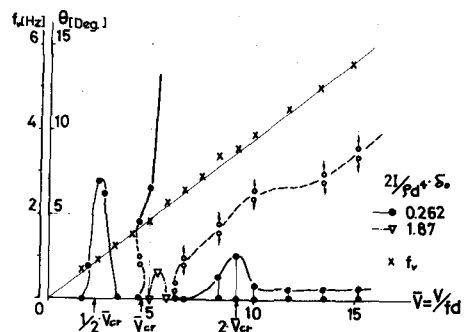


Fig. 9 1:2 Model ,  $\alpha = 0^\circ$

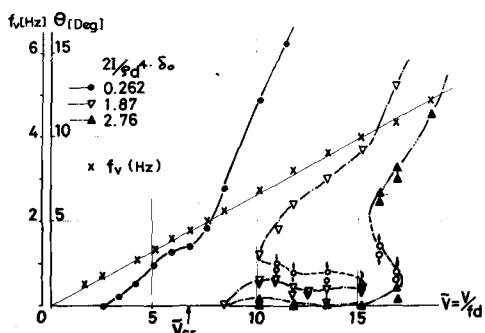


Fig. 10 1:2 Model ,  $\alpha = 30^\circ$

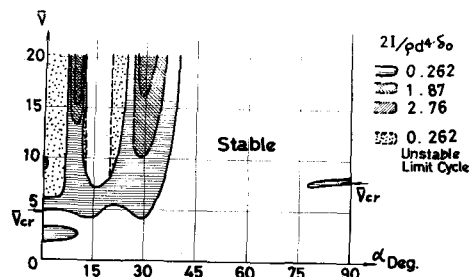


Fig. 11 1:2 Model